

## КИНЕТИЧЕСКАЯ МОДЕЛЬ СОПРЯЖЕННЫХ МЕТАБОЛИЧЕСКИХ ЦИКЛОВ: ОРНИТИНОВОГО И ЛИМОННОЙ КИСЛОТЫ

© 2020 г. Ю. А. Ершов<sup>a</sup>, К. Д. Лукин<sup>b</sup>, Т. К. Слонская<sup>c,\*</sup>, М. А. Хачатуян<sup>c</sup><sup>a</sup> Московский государственный технический университет имени Н.Э. Баумана, Москва, Россия<sup>b</sup> Минский филиал РЭУ имени Г.В. Плеханова, Минск, Республика Беларусь<sup>c</sup> Первый Московский государственный медицинский университет имени И.М. Сеченова, Москва, Россия

\*e-mail: tslonskaya@mail.ru

Поступила в редакцию 27.12.2019 г.

После доработки 27.12.2019 г.

Принята к публикации 21.01.2020 г.

На основе кинетического графа и модели биокинетики сопряженных метаболических циклов лимонной кислоты и орнитинового цикла подобраны константы биохимических реакций и решена система из восьми обыкновенных дифференциальных уравнений. Построены зависимости количества метаболитов и продуктов от времени.

**Ключевые слова:** сопряжение метаболических циклов, кинетика метаболитов, константы биохимических реакций, система обыкновенных дифференциальных уравнений

**DOI:** 10.31857/S0044453720110060

Существование сопряженных метаболических циклов в организме экспериментально доказано [1]. Изучена кинетика биохимических реакций отдельных стадий метаболических путей [2]. Кинетика сопряженных метаболических циклов изучена недостаточно из-за большого числа параметров, влияющих на протекание биохимических процессов. Воссоздать подобные процессы *in vitro* для изучения и анализа практически невозможно, поэтому актуальным, а иногда и единственным, остается подход с использованием математического моделирования.

Сложные связи между орнитиновым циклом и циклом лимонной кислоты (рис. 1), с точки зрения химической кинетики, предложено описывать с помощью кинетического графа [2] и моделировать с помощью системы обыкновенных дифференциальных уравнений.

В [3] приводится система обыкновенных дифференциальных уравнений (I), а также формулируются задачи, связанные с этой системой.

$$dx_0/dt = v_0 - k_{x01}x_0, \quad (1)$$

$$dx_1/dt = k_{x01}x_0 + k_{x31}x_3 - k_{x12}x_1, \quad (2)$$

$$dx_2/dt = k_{x12}x_1 - k_{x23}x_2 + k_{y22}y_2 - k_{y21}y_2, \quad (3)$$

$$dx_3/dt = k_{x23}x_2 - k_{x31}x_3 - k_{x3p}x_3, \quad (4) \quad (I)$$

$$dy_1/dt = k_{y21}x_2 - k_{y21}y_1, \quad (5)$$

$$dy_2/dt = k_{y12}y_1 - k_{y22}y_2 - k_{y2p}y_2, \quad (6)$$

$$dp_x/dt = k_{x3p}x_3, \quad (7)$$

$$dp_y/dt = k_{y2p}y_2. \quad (8)$$

Здесь  $v_0$  – скорость поступления основного субстрата ( $x_0$ );  $x_i, y_i, p_x, p_y$  – количества метаболитов и продуктов;  $k_{ijk}$  – константы скорости реакций на соответствующих стадиях циклов.

Настоящая работа посвящена построению кинетических кривых зависимости количества метаболитов и продуктов  $x_i, y_i, p_x, p_y$  от времени на основе решения системы дифференциальных уравнений (I), а также проведению регуляризации полученных решений для метаболитов и продуктов на основе базы экспериментальных данных для значений констант скорости реакций. Для достижения поставленной цели:

а) проанализированы неизвестные функции системы (I):  $x_0(t), x_1(t), x_2(t), y_1(t), y_2(t), p_x(t), p_y(t)$ . Все коэффициенты  $k$  с индексами – постоянные величины;

б) подобраны значения концентраций субстратов (табл. 1) и констант для решения системы дифференциальных уравнений (табл. 2).

При  $v_0 = v_0(t)$  уравнение (1) – линейное дифференциальное уравнение первого порядка. Частное решение этого уравнения при начальном условии  $x_0(0) = a$ :

$$x_0 = v_0/k_{x01} - (v_0/k_{x01} - a)\exp(-k_{x01}t). \quad (II)$$



Рис. 1. Схема сопряженных метаболических циклов: цикла лимонной кислоты и орнитинового цикла.

Подставив это значение для  $x_0$  в уравнение (2) системы (I), получаем систему обыкновенных дифференциальных уравнений с постоянными коэффициентами относительно неизвестных функций  $x_1(t)$ ,  $x_2(t)$ ,  $y_1(t)$ ,  $y_2(t)$ ,  $p_x(t)$ ,  $p_y(t)$ . Решаем эту систему в пакете Wolfram Mathematica.

При моделировании рассматривали варианты А и Б.

А. Пусть  $k_{y22} = k_{y21}$ . В этом случае система (I) распадается на три подсистемы: (2), (3\*), (4); (5), (6) и (7), (8); при этом

$$dx_2/dt = k_{x12}x_1 - k_{x23}x_2. \quad (3*)$$

Таблица 1. Концентрации субстратов ( $y_i$ ) в метаболических циклах

$y_i$ , М	$t = 10$ с	$t = 360$ с	$t = 600$ с
$y_1$ (аргинин сукиннат)	$9.31 \times 10^{-7}$	$2.40 \times 10^{-6}$	$2.44 \times 10^{-6}$
$y_2$ (аргинин)	$3.90 \times 10^{-7}$	$8.82 \times 10^{-7}$	$9.04 \times 10^{-7}$
Орнитин	$3.96 \times 10^{-4}$	$2.58 \times 10^{-4}$	$2.56 \times 10^{-4}$
Цитруллин	$4.81 \times 10^{-5}$	$1.84 \times 10^{-4}$	$1.86 \times 10^{-4}$
Мочевина	$1.20 \times 10^{-5}$	$2.20 \times 10^{-3}$	$3.77 \times 10^{-3}$
$x_2$ (сукиннат)	$9.50 \times 10^{-7}$	$9.04 \times 10^{-6}$	$1.09 \times 10^{-5}$

Решаем подсистему (2), (3\*), (4), полагая при  $t = 0$ :  $v_0 = 0.1$ ,  $a = 2$ ,  $x_i = y = p_x = p_y = 0$ . Для удобства введены следующие обозначения:  $x_1(t) = x(t)$ ,  $x_2(t) = y(t)$ ,  $x_3(t) = z(t)$ . Программа для решения этой системы имеет вид

$$\begin{aligned} \text{NDSolve}\{ & \{x'[t] == 0.1 - 0.08 \exp[-0.01t] + \\ & + 0.0013z[t] - 0.21x[t], \\ & y'[t] == 0.21x[t] - 0.0016y[t], \\ & z'[t] == 0.0016y[t] - 0.0022z[t], \\ & x[0] == 0, y[0] == 0, z[0] == 0\}, \{x, y, z\}, \{t, 0, 100\}\}. \end{aligned}$$

Графики полученных интегральных кривых приведены на рис. 2.

Таблица 2. Значения кинетических констант в уравнениях

$k_{y21}$ , 1/с	$k_{y12}$ , 1/с	$k_{y2p}$ , 1/с	$k_{x23}$ , 1/с
$2.04 \times 10^{-3}$	$1.00 \times 10^{-4}$	$1.00 \times 10^{-2}$	$1.6 \times 10^{-3}$
$k_{x12}$ , 1/с	$k_{x3p}$ , 1/с	$k_{y22}$ , 1/с	$k_{x31}$ , 1/с
$2.0 \times 10^{-1}$	$0.9 \times 10^{-3}$	$1.5 \times 10^{-3}$	$1.3 \times 10^{-3}$

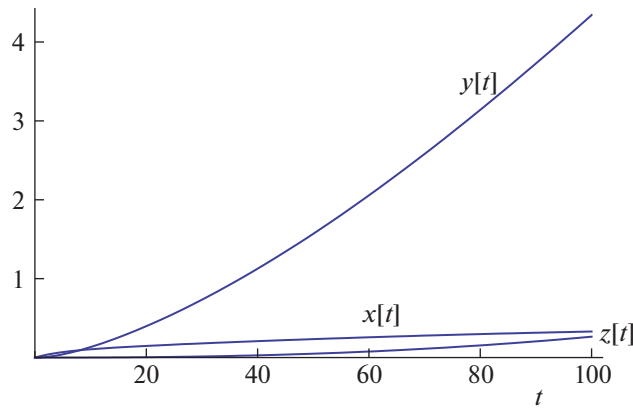


Рис. 2. Интегральные кривые функций  $x(t)$ ,  $y(t)$ ,  $z(t)$ .

Решаем подсистему (5), (6). Так как функция  $x_2$  найдена в виде интерполяционного многочлена, то, подставив этот многочлен в подсистему (5), (6). Решаем ее так же, как и подсистему (2), (3\*), (4). При этом вводим обозначения  $y_1(t) = Y(t)$ ,  $y_2(t) = Z(t)$ . Программа для решения этой подсистемы:

```
NDSolve[{Y'[t] == 0.0024(0.000318t2 +
    + 0.012558t) - 0.0024Y[t],
    Z'[t] == 0.0001Y[t] - 0.0025Z[t],
    Y[0] == 0, Z[0] == 0}, {Y, Z}, {t, 0, 100}]
```

Графики функций  $Y(t)$ ,  $Z(t)$  представлены на рис. 3.

Решаем третью подсистему (7), (8). Функции  $x_3[t]$  и  $y_2[t]$  найдены выше в виде интерполяционных многочленов:

$$k_{x3p}x_3[t] = 317.7 \times 10^{-10}t^2 - 7371 \times 10^{-10}t,$$

$$\begin{aligned} k_{y2p}y_2[t] = & 1.85 \times 10^{-12}t^3 - 8.82 \times 10^{-11}t^2 + \\ & + 105 \times 10^{-11}t. \end{aligned}$$

Решение системы (7), (8) находится непосредственным интегрированием:

$$\begin{aligned} p[t] = & 10^{-10}(105.9t^3 - 3685.5t^2), \\ q[t] = & 10^{-11}(0.0462t^4 - 2.94t^3 + 52.5t^2). \end{aligned}$$

Б. Снимая ограничение:  $k_{y22} \neq k_{y21}$ , решаем исходную систему (I) при следующих значениях констант:

$$K_{y21} = 2.04 \times 10^{-3} \text{ 1/c, } K_{y12} = 10^{-4} \text{ 1/c, }$$

$$K_{y2p} = 10^{-2} \text{ 1/c, } K_{x23} = 1,$$

$$K_{x23} = 1.6 \times 10^{-3} \text{ 1/c, } K_{x31} = 1.3 \times 10^{-3} \text{ 1/c, }$$

$$K_{x12} = 2.1 \times 10^{-1} \text{ 1/c, } K_{x3p} = 0.9 \times 10^{-3} \text{ 1/c, }$$

$$K_{y2p} = 10^{-3} \text{ 1/c, } K_{y22} = 1.5 \times 10^{-3} \text{ 1/c.}$$

Программа имеет вид:

```
NDsolve[{x'[t] == 0.1 - 0.08 exp[-0.01t] +
    + 0.0013z[t] - 0.21x[t],
    y'[t] == 0.21x[t] - 0.0016y[t],
    z'[t] == 0.0016y[t] - 0.0022z[t],
    Y'[t] == 0.002y[t] - 0.002Y[t],
    Z'[t] == 0.0001Y[t] - 0.0025Z[t],
    p'[t] == 0.0009z[t], q'[t] == 0.001Z[t],
    x[0] == 0, y[0] == 0, z[0] == 0,
    Y[0] == 0, Z[0] == 0, p[0] == 0, q[0] == 0},
    {x, y, z, Y, Z, p, q}, {t, 0, 100}].
```

Получены решения функций  $x(t)$ ,  $y(t)$ ,  $z(t)$ ,  $Y(t)$ ,  $Z(t)$ ,  $p(t)$ ,  $q(t)$ .

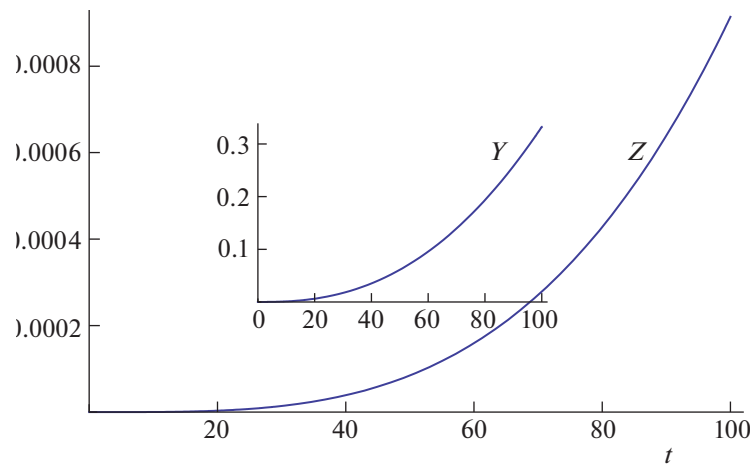


Рис. 3. Интегральные кривые функций  $Y(t)$ ,  $Z(t)$ .

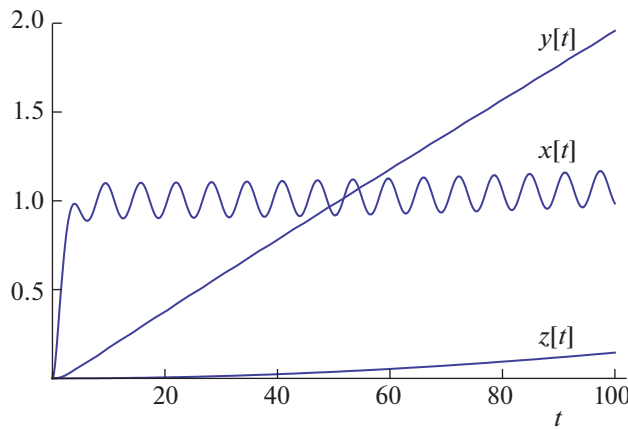


Рис. 4. Интегральные кривые функций  $x(t)$ ,  $y(t)$ ,  $z(t)$  при поступлении субстратов.

При значении  $k_{x12} = 2.1 \times 10^{-2} \text{ 1/c}$  решение этой системы получаем аналогично.

Решение системы (I) существенно зависит от ее первого уравнения. Решение этого уравнения задается формулой (II). При  $v_0 = 2$  решение первого уравнения принимает вид:

$$x_0 = 2 - \exp(-t).$$

Решение системы для  $x_0 = 2 - \exp(-t)$ :

$$\begin{aligned} \text{NDSolve}[&\{x'[t] == -x[t] + 0.5z[t] + 2 - \exp[-t], \\ &y'[t] == x[t] - 1.5y[t] + 0.5Z[t], \\ &z'[t] == 1.5y[t] - z[t], Y'[t] == y[t] - Y[t], \\ &Z'[t] == 0.6Y[t] - 2Z[t], p'[t] == 0.5z[t], \\ &q'[t] == Z[t], x[0] == 0, y[0] == 0, z[0] == 0, \\ &Y[0] == 0, Z[0] == 0, p[0] == 0, q[0] == 0\}, \\ &\{x, y, z, Y, Z, p, q\}, \{t, 0, 20\}]. \end{aligned}$$

При периодическом приеме пищи, т.е. при поступлении субстратов, функцию  $v_0(t)$  задают в виде:  $v_0(t) = 1 + v_0 \sin t$ . Решение для  $x_0$  в этом случае имеет вид:  $x_0(t) = 1 - 0.9t + 0.1(\sin t - \cos t)$ . Ниже приводится решение системы (I) для этого случая:

$$\begin{aligned} \text{NDSolve}[&\{x'[t] == -x[t] + 0.5z[t] + 1 - \\ &- 0.9 \exp[-t] + 0.1(\sin[t] - \cos[t]), \\ &y'[t] == 0.21x[t] - 0.0016y[t], \\ &z'[t] == 0.0016y[t] - 0.0022z[t], \\ &Y'[t] == 0.002y[t] - 0.002Y[t], \\ &Z'[t] == 0.0001Y[t] - 0.0025Z[t], \\ &p'[t] == 0.0009z[t], q'[t] == 0.001Z[t], \\ &x[0] == 0, y[0] == 0, z[0] == 0, Y[0] == 0, \\ &Z[0] == 0, p[0] == 0, q[0] == 0\}, \\ &\{x, y, z, Y, Z, p, q\}, \{t, 0, 100\}\}]. \end{aligned}$$

Графики искомых функций  $x(t)$ ,  $y(t)$ ,  $z(t)$  приведены на рис. 4. Вид полученных кинетических кривых согласуется с экспериментальными данными.

Полученные результаты могут служить базой для количественного прогнозирования при изучении сложных биохимических процессов метаболических циклов в организме человека.

#### СПИСОК ЛИТЕРАТУРЫ

1. Mogilevskaya E., Demin O., Goryanin I. // J. Biol. Phys. 2006. V. 32. P. 245.
2. Feng Qi, Xuewen Chen, Beard D.A. // Biochim. Biophys. Acta. 2008. V. 1784(11). P. 1641.
3. Ершов Ю.А. // Журн. физ. химии. 2016. Т. 90. № 1. С. 13.